

2N 1843A → 2N 1850A  
 TR 1010 → TR 9010  
 THYRISTORS  
 T-25x15

78C 07700 D

General purpose SCR suited for power supplies up to 400 Hz on resistive or inductive loads.

- $V_{RRM}$  up to 1 200 V.
- Glass passivated chips.
- High stability and reliability.

*Thyristors à usage général, pour des alimentations jusqu'à 400 Hz sur charges résistives ou inductives.*

- $V_{RRM}$  jusqu'à 1 200 V.
- Pastilles glassivées.
- Grande stabilité des caractéristiques.

$I_T(RMS) = 16 A / T_{case} = 80^\circ C$

$50 V < \frac{V_{DRM}}{V_{RRM}} \leq 1 200 V$

Case : TO 48 metal (CB-267)  
 Boîtier :

ABSOLUTE RATINGS (LIMITING VALUES) VALEURS LIMITES ABSOLUES D'UTILISATION	Symbol	Value	Unit
RMS on-state current* Courant efficace à l'état passant*	$I_T(RMS)$	16 @ $T_{case} = 80^\circ C$	A
Mean on-state current* Courant moyen à l'état passant*	$I_T(AV)$	10 @ $T_{case} = 80^\circ C$	A
Non repetitive surge peak on-state current** Courant non répétilif de surcharge crête accidentelle à l'état passant**	$I_{TSM}$ $I_{TSM}$	157 (t = 8,3 ms) 150 (t = 10 ms) @ $T_J \leq 125^\circ C$	A A
$i^2 t$ for fusing Valeur de la constante $i^2 t$	$i^2 t$	112,5 (t = 10 ms) @ $T_J \leq 125^\circ C$	A <sup>2</sup> s
Critical rate of rise of on-state current*** Vitesse critique de croissance du courant à l'état passant***	di/dt	100	A/ $\mu$ s
Storage and operating junction temperatures Températures extrêmes de stockage et de jonction en fonctionnement	$T_{stg}$ $T_J$	-40, + 150 -40, + 125	$^\circ C$ $^\circ C$

@ $T_J = 125^\circ C$	2N 1843 A	2N 1844 A	2N 1846 A	2N 1848 A	2N 1849 A	2N 1850 A	TR 6010	TR 7010	TR 8010	TR 9010	TR 1010	TR 1110	TR 1210
$V_{DRM} = V_{RRM}$ (V)	50	100	200	300	400	500	600	700	800	900	1000	1100	1200

Thermal resistances Résistances thermiques	Symbol	Value	Unit
- Junction to case for D.C. Jonction-boîtier en continu	$R_{th(j-c)}$	2	$^\circ C/W$
- Contact (case to heatsink) Contact (boîtier-radiateur)	$R_{th(c-h)}$	0,4	$^\circ C/W$

\* Single phase circuit, 180° conduction angle  
 \* Circuit monophasé, angle de conduction 180°

\*\* Half sine wave  
 \*\* Demi-onde sinusoïdale

\*\*\* Gate supply 20 V/20  $\Omega$  - tr  $\leq$  0,1  $\mu$ s - Half sine wave of 6,3  $\mu$ s  
 \*\*\* Générateur de gâchette Demi-sinusoïde

May 1984 - 1/5

**THOMSON SEMICONDUCTORS**  
 45, avenue de l'Europe - 78140 VÉLIZY - France  
 Tél. : 946.97.19 / Téléx : 698 866 F



78C 07701 D  
T-25-15

**GATE CHARACTERISTICS (Maximum values)**  
**CARACTÉRISTIQUES DE GACHETTE (Valeurs maximales)**

$P_{GM} = 5 \text{ W}$  ( $t = 100 \mu\text{s}$ )  
 $P_{G(AV)} = 1 \text{ W}$

$I_{FGM} = 2 \text{ A}$  ( $t = 100 \mu\text{s}$ )  
 $V_{FGM} = 10 \text{ V}$  ( $t = 100 \mu\text{s}$ )

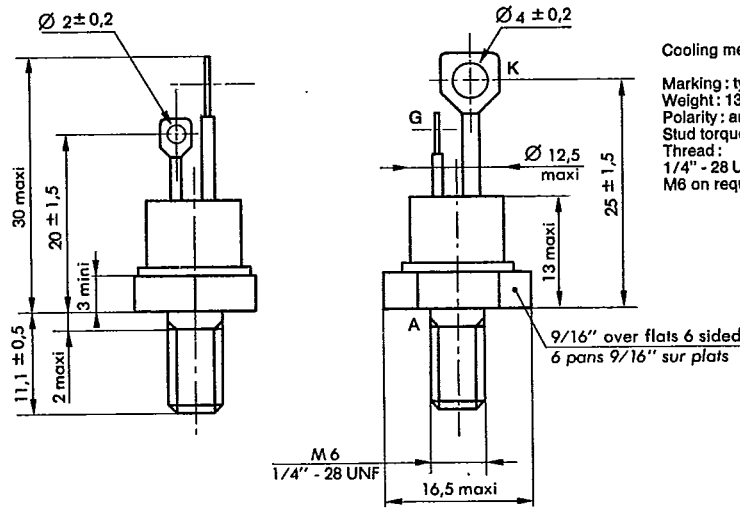
$V_{RGM} = 5 \text{ V}$

**ELECTRICAL CHARACTERISTICS**  
**CARACTÉRISTIQUES ÉLECTRIQUES**

Symbol	Value			Unit	Test conditions			
	min	typ	max					
$I_{GT}$			80	mA	$T_J = 25^\circ\text{C}$	$V_D = 12 \text{ V}$	$R_L = 33 \Omega$	$t_p \geq 20 \mu\text{s}$
$V_{GT}$			3	V	$T_J = 25^\circ\text{C}$	$V_D = 12 \text{ V}$	$R_L = 33 \Omega$	$t_p \geq 20 \mu\text{s}$
$V_{GD}$	0,25			V	$T_J = 125^\circ\text{C}$	$V_D = V_{DRM}$	$R_L = 3,3 \text{ k}\Omega$	
$I_H$		20		mA	$T_J = 25^\circ\text{C}$	$I_T = 0,5 \text{ A}$	Gate open	
$V_{TM}$			2,2	V	$T_J = 25^\circ\text{C}$	$I_{TM} = 30 \text{ A}$		$t_p = 10 \text{ ms}$
$I_{DRM}$			5	mA	$T_J = 125^\circ\text{C}$	$V_{DRM}$ specified		
$I_{RRM}$			5	mA	$T_J = 125^\circ\text{C}$	$V_{RRM}$ specified		
$t_{gt}$		2		$\mu\text{s}$	$T_J = 25^\circ\text{C}$ $I_G = 200 \text{ mA}$	$I_T = 30 \text{ A}$ $di_G/dt = 2 \text{ A}/\mu\text{s}$	$V_D = V_{DRM}$	
$t_q$		100		$\mu\text{s}$	$T_J = 125^\circ\text{C}$ $di_R/dt = 30 \text{ A}/\mu\text{s}$	$I_T = 10 \text{ A}$ $dv/dt = 20 \text{ V}/\mu\text{s}$	$V_R = 30 \text{ V}$	$V_D = 0,67 V_{DRM}$ Gate open
$dv/dt^*$	100			$\text{V}/\mu\text{s}$	$T_J = 125^\circ\text{C}$	Linear slope up to 0,67 $V_{DRM}$ specified		

\* For higher guaranteed values, please consult us.

**CASE DESCRIPTION**  
**DESCRIPTION DU BOITIER**



Cooling method: by conduction (method C)  
Marking: type number  
Weight:  $13,5 \pm 1 \text{ g}$   
Polarity: anode to case  
Stud torque:  $3,5 \text{ m} \wedge \text{Nmin} - 3,8 \text{ m} \wedge \text{Nmax}$   
Thread:  
1/4" - 28 UNF : type N°  
M6 on request: type N° + suffix M

TO 48 metal (CB-267)

2N 1843A → 2N 1850A — TR 1010 → TR 9010  
:K

78C 07702 D  
T-25-15

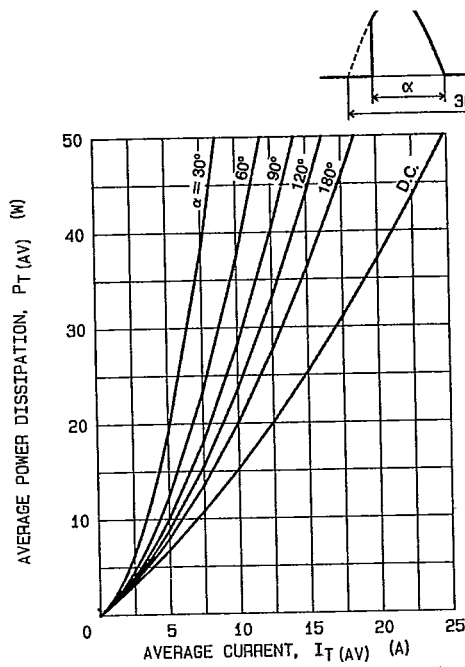


FIG. 1 - MAXIMUM ON-STATE POWER DISSIPATION FOR SINUSOIDAL CURRENT WAVEFORM

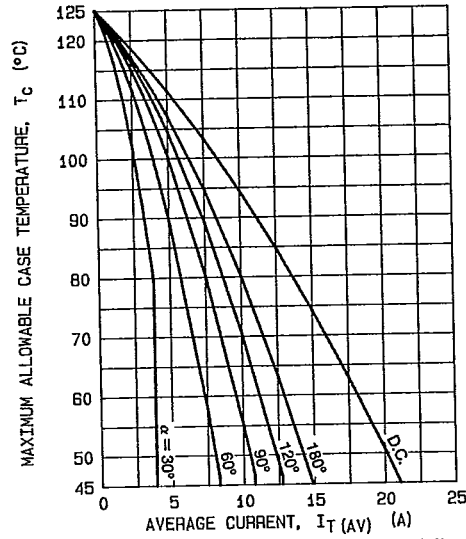


FIG. 2 - MAXIMUM ALLOWABLE CASE TEMPERATURE FOR SINUSOIDAL CURRENT WAVEFORM

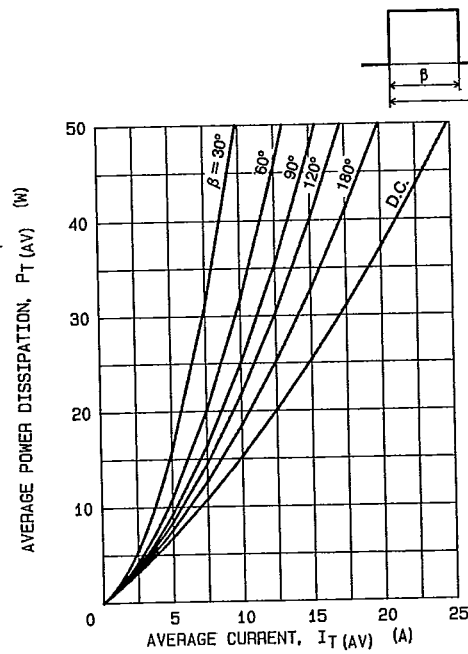


FIG. 3 - MAXIMUM ON-STATE POWER DISSIPATION FOR RECTANGULAR CURRENT WAVEFORM

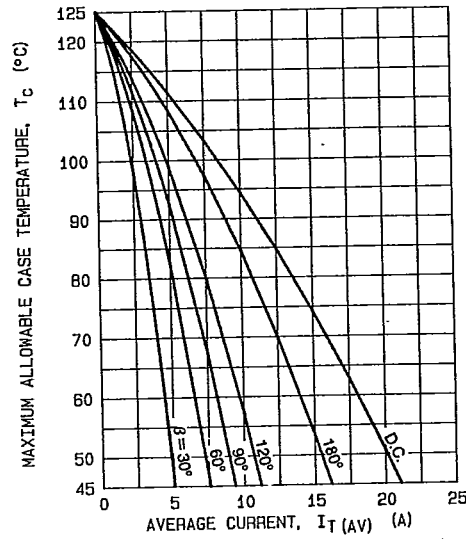


FIG. 4 - MAXIMUM ALLOWABLE CASE TEMPERATURE FOR RECTANGULAR CURRENT WAVEFORM

T-25-15

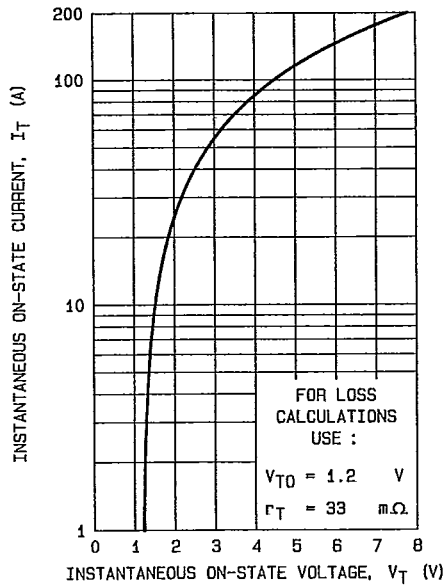


FIG.5 - MAXIMUM ON-STATE CONDUCTION CHARACTERISTIC ( $T_J = 125^\circ\text{C}$ ).

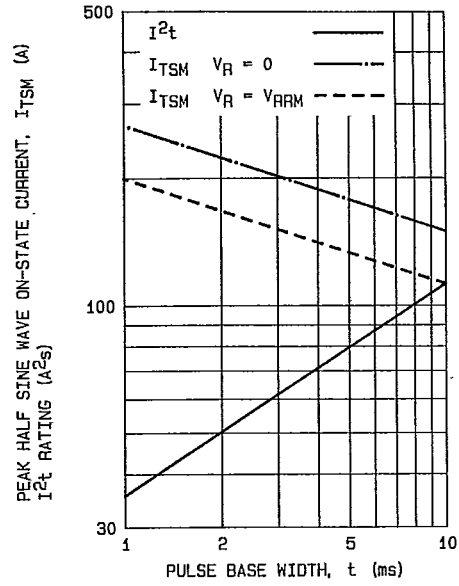


FIG.6 - NON REPETITIVE SUB-CYCLE SURGE ON-STATE CURRENT AND  $I^2t$  RATING (INITIAL  $T_J = 125^\circ\text{C}$ ).

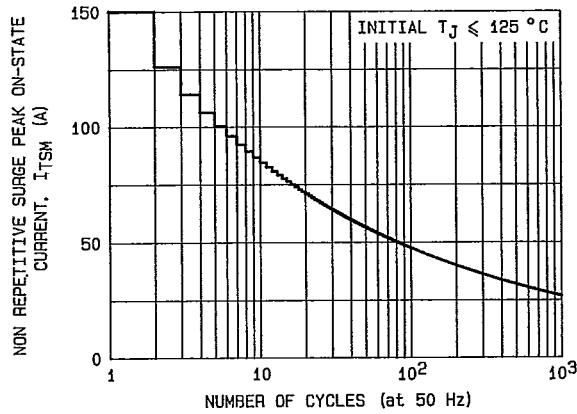


FIG.7 - NON REPETITIVE SURGE PEAK ON-STATE CURRENT VERSUS NUMBER OF CYCLES.

2N 1843A → 2N 1850A — TR 1010 → TR 9010

⋮K

78C 07704 D

T-25-15

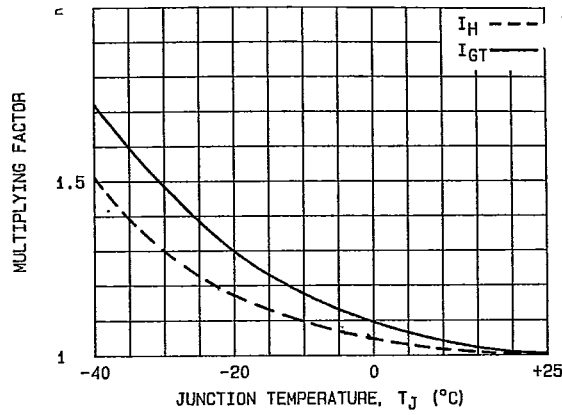


FIG.8 - RELATIVE VARIATION OF GATE TRIGGER CURRENT AND HOLDING CURRENT VERSUS JUNCTION TEMPERATURE.

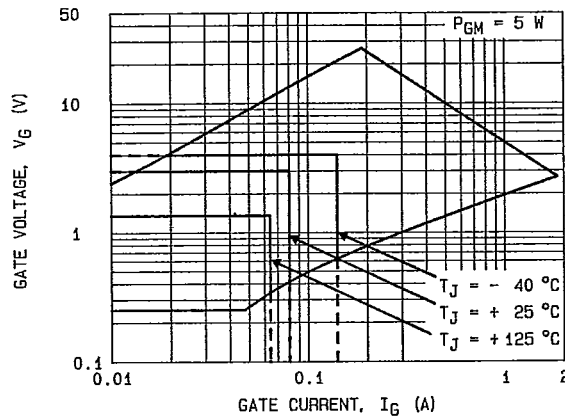
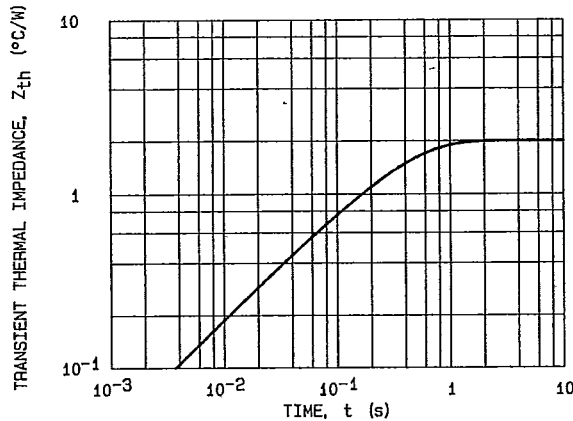


FIG.9 - GATE TRIGGER CHARACTERISTICS.



Conduction angle (α,β)	Effective thermal resistance (°C/W) junction to case	
	Sinusoidal	Rectangular
180°	2.23	2.18
120°	2.31	3.09
90°	2.47	3.50
60°	2.88	3.91
30°	3.71	4.94

FIG.10 - TRANSIENT THERMAL IMPEDANCE JUNCTION TO CASE.